

Application 1 –  
Corrigé

## Application – Pompe à plateau

C. Gamelon &amp; P. Dubois

## Savoirs et compétences :

- Res1.C2 : principe fondamental de la dynamique ;
- Res1.C1.SF1 : proposer une démarche permettant la détermination de la loi de mouvement.

## Fermeture géométrique.

On a :  $\overrightarrow{OB} + \overrightarrow{BI} + \overrightarrow{IA} + \overrightarrow{AO} = \overrightarrow{0}$ .En projection sur  $\overrightarrow{z_0}$  :  $e \cos \theta + R = z$ . Par dérivation successive, on a :  $-e \dot{\theta} \sin \theta = \dot{z}$  et  $-e \ddot{\theta} \sin \theta - e \dot{\theta}^2 \cos \theta = \ddot{z}$ .

## On isole le solide (1).

## On réalise le bilan des actions mécaniques.

- Liaison pivot :  $\{\mathcal{T}(0 \rightarrow 1)\} = \left\{ \begin{array}{c} X_{01} \overrightarrow{x_0} + Y_{01} \overrightarrow{y_0} + Z_{01} \overrightarrow{z_0} \\ M_{01} \overrightarrow{y_0} + N_{01} \overrightarrow{z_0} \end{array} \right\}_O = \left\{ \begin{array}{c} Y_{01} \overrightarrow{y_0} + Z_{01} \overrightarrow{z_0} \\ 0 \end{array} \right\}_O$ .
- Liaison ponctuelle :  $\{\mathcal{T}(2 \rightarrow 1)\} = \left\{ \begin{array}{c} Y_{21} \overrightarrow{y_0} + Z_{21} \overrightarrow{z_0} \\ 0 \end{array} \right\}_I$ . On a  $Z_{21} < 0$ ,  $Y_{21} > 0$  et à la limite du glissement,  $Y_{21} = -f Z_{21}$ .  
 $\mathcal{M}(O, 2 \rightarrow 1) = \mathcal{M}(I, 2 \rightarrow 1) + \overrightarrow{OI} \wedge R(2 \rightarrow 1) = (e \overrightarrow{z_1} + R \overrightarrow{z_0}) \wedge (Y_{21} \overrightarrow{y_0} + Z_{21} \overrightarrow{z_0}) = -e Y_{21} \cos \theta \overrightarrow{x_0} - e Z_{21} \sin \theta \overrightarrow{x_0} - R Y_{21} \overrightarrow{x_0} = -((e \cos \theta + R) Y_{21} + e Z_{21} \sin \theta) \overrightarrow{x_0}$ .
- Couple moteur :  $\{\mathcal{T}(\text{Moteur} \rightarrow 1)\} = \left\{ \begin{array}{c} 0 \\ C_m \overrightarrow{x_0} \end{array} \right\}_O$ .

Calcul de  $\overrightarrow{\delta}(O, 1/0) \cdot \overrightarrow{x_0}$ .

O est un point fixe et  $I_1$  moment d'inertie par rapport à  $(O, \overrightarrow{x_0})$  on a donc :  $\overrightarrow{\delta}(O, 1/0) \cdot \overrightarrow{x_0} = \left[ \frac{d\sigma(O, 1/0)}{dt} \right]_{\mathcal{R}_0} \overrightarrow{x_0} =$

$$\left[ \frac{d\sigma(O, 1/0) \cdot \overrightarrow{x_0}}{dt} \right]_{\mathcal{R}_0} = \left[ \frac{dI_O(1) \Omega(1/0) \cdot \overrightarrow{x_0}}{dt} \right]_{\mathcal{R}_0} = \left[ \frac{dI_1 \dot{\theta} \overrightarrow{x_0} \cdot \overrightarrow{x_0}}{dt} \right]_{\mathcal{R}_0} = I_1 \ddot{\theta}.$$

Application du théorème du moment dynamique en projection sur  $\overrightarrow{x_0}$ .

$$C_m - ((e \cos \theta + R) Y_{21} + e Z_{21} \sin \theta) = I_1 \ddot{\theta}.$$

## On isole le solide (2).

## On réalise le bilan des actions mécaniques.

- Liaison pivot glissant :  $\{\mathcal{T}(0 \rightarrow 2)\} = \left\{ \begin{array}{c} Y_{02} \overrightarrow{y_0} \\ L_{02} \overrightarrow{x_0} \end{array} \right\}_O$ .
- Liaison ponctuelle :  $\{\mathcal{T}(1 \rightarrow 2)\} = -\{\mathcal{T}(2 \rightarrow 1)\} = \left\{ \begin{array}{c} -Y_{21} \overrightarrow{y_0} - Z_{21} \overrightarrow{z_0} \\ 0 \end{array} \right\}_I$ .
- Ressort :  $\{\mathcal{T}(\text{Ressort} \rightarrow 2)\} = \left\{ \begin{array}{c} -F_0 - k z \overrightarrow{z_0} \\ 0 \end{array} \right\}_A$ .
- Pesanteur :  $\{\mathcal{T}(\text{Pesanteur} \rightarrow 2)\} = \left\{ \begin{array}{c} -m_2 g \overrightarrow{z_0} \\ 0 \end{array} \right\}_A$ .
- Fluide :  $\{\mathcal{T}(\text{Fluide} \rightarrow 2)\} = \left\{ \begin{array}{c} -F_h \overrightarrow{z_0} \\ 0 \end{array} \right\}_A$ .

Calcul de  $\overrightarrow{R_d}(2/0) \cdot \overrightarrow{z_0}$ .

$$\overrightarrow{R_d}(2/0) \cdot \overrightarrow{z_0} = m_2 \ddot{z}$$

Application du théorème de la résultante dynamique en projection sur  $\overrightarrow{z_0}$ .

$$-F_h - Z_{21} - F_0 - k z - m_2 g = m_2 \ddot{z}.$$

**Bilan :**

$$C_m - ((e \cos \theta + R) Y_{21} + e (-F_h - F_0 - kz - m_2 g - m_2 \ddot{z}) \sin \theta) = I_1 \ddot{\theta}.$$

On a alors :

$$C_m - ((e \cos \theta + R) Y_{21} - e (F_h + F_0 + k(e \cos \theta + R) + m_2 g - e m_2 (\ddot{\theta} \sin \theta + \dot{\theta}^2 \cos \theta)) \sin \theta) = I_1 \ddot{\theta}.$$

**Bilan sans frottement :**

$$C_m + e (F_h + F_0 + k(e \cos \theta + R) + m_2 g - e m_2 \sin \theta (\ddot{\theta} \sin \theta + \dot{\theta}^2 \cos \theta)) = I_1 \ddot{\theta}.$$

## Application 2 – Corrigé

## Application – Détermination de l'inertie équivalente de réducteurs

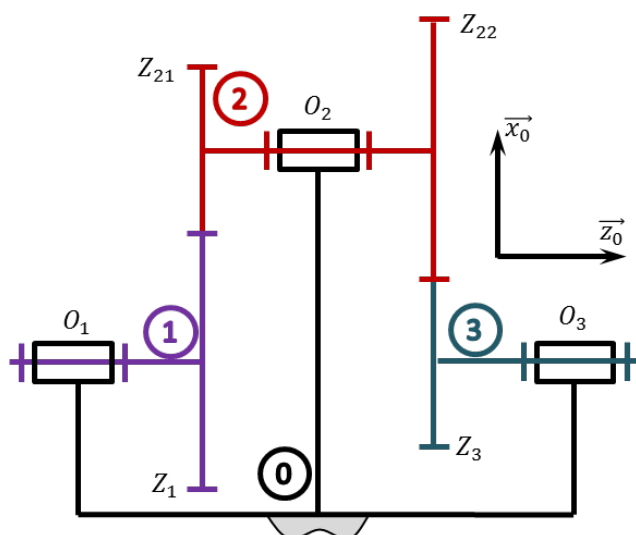
## Savoirs et compétences :

- Mod2.C18.SF1 : Déterminer l'énergie cinétique d'un solide, ou d'un ensemble de solides, dans son mouvement par rapport à un autre solide.
- Res1.C1.SF1 : Proposer une démarche permettant la détermination de la loi de mouvement.

## Exercice 1 – Calcul de l'inertie équivalente d'un train simple

On donne un train d'engrenages simple avec  $Z_1$ ,  $Z_{21}$ ,  $Z_{23}$  et  $Z_3$  le nombre de dents des roues dentées. On nomme  $k_1$  le rapport du train de  $S_1$  et  $S_2$  avec  $k_1 = \frac{\omega(2/0)}{\omega(1/0)}$  et  $k_2$  le rapport de  $S_2$  et  $S_3$  avec  $k_2 = \frac{\omega(3/0)}{\omega(2/0)}$ .

On applique en entrée, sur l'arbre 1, un couple moteur  $C_m \vec{z}_0$  destiné à entraîner une charge, sur l'arbre 3, modélisée par un couple résistant  $C_r \vec{z}_0$



On rappelle que pour les engrenages à denture droite  $d = mz$  avec  $d$  le diamètre primitif,  $m$  le module,  $z$  le nombre de dents du pignon.  $\omega(1/0)$ ,  $\omega(2/0)$  et  $\omega(3/0)$  sont les vitesses de rotation de  $S_1$ ,  $S_2$  et  $S_3$  autour des axes  $(O_1, \vec{x}_g)$ ,  $(O_2, \vec{x}_g)$  et  $(O_3, \vec{x}_g)$ . Le repère galiléen  $\mathcal{R}_g$  est lié au solide  $S_0$ . Les liaisons pivots sont supposées parfaites. Les moments d'inertie sont définies aux centres de masse  $G_1 = O_1$ ,  $G_2 = O_2$  et  $G_3 = O_3$  associées aux solides  $S_1$ ,  $S_2$  et  $S_3$  suivant l'axe  $\vec{z}_0$  sont notés  $J_1$ ,  $J_2$  et  $J_3$ .

Le train d'engrenage est entraîné par un couple moteur  $C_m$  agissant sur la liaison pivot entre 1 et 0. Une poulie de rayon  $R$  est placée sur l'extrémité droite de l'arbre 3. Une charge de masse  $M$  y est suspendue.

**Question 1** Déterminer le rapport de réduction du train d'engrenages.

**Question 2** Déterminer l'inertie équivalente du réducteur seul ramené à l'axe moteur.

**Question 3** Déterminer l'inertie équivalente de l'ensemble réducteur et charge ramené à l'arbre moteur.

**Question 4** Déterminer la relation entre le couple d'entrée et le couple de sortie du réducteur.

**Question 5** Déterminer la relation entre le couple d'entrée, les grandeurs inertielles et l'accélération de l'arbre 1.

Application 3 –  
Corrigé

## Application 3 –Axe numérique

## Savoirs et compétences :

- Mod2.C18.SF1 : Déterminer l'énergie cinétique d'un solide, ou d'un ensemble de solides, dans son mouvement par rapport à un autre solide.
- Res1.C1.SF1 : Proposer une démarche permettant la détermination de la loi de mouvement.

Pour aller rechercher des produits dans leurs rayons, Amazon utilise des axes linéaires afin de déplacer un préhenseur.



Les performances dynamique de l'axe demandées sont les suivantes :

- vitesse linéaire maximale :  $50 \text{ m min}^{-1}$  ;
- accélération linéaire maximale :  $9,8 \text{ m s}^{-2}$ .

**Objectif** L'objectif de ce travail est de déterminer les caractéristiques du moteur (vitesse et couple) permettant d'atteindre ces performances.

**Question 1** Quelle est la vitesse maximale que l'axe peut atteindre en  $\text{m s}^{-1}$ .

**Correction**  $V = 0,83 \text{ m s}^{-1}$

**Question 2** Combien de temps l'axe met-il pour atteindre la vitesse maximale ?

**Correction**  $T_a = 0,83/9,8 = 0,08 \text{ s}$

**Question 3** Quelle distance l'axe parcourt-il pour atteindre la vitesse maximale ?

**Correction**

**Question 4** Quelle est la longueur minimale à commander pour que l'axe puisse atteindre la vitesse maximale ?

**Correction**

**Question 5** Proposer une longueur minimale de l'axe pour pouvoir profiter de ses performances dynamiques.

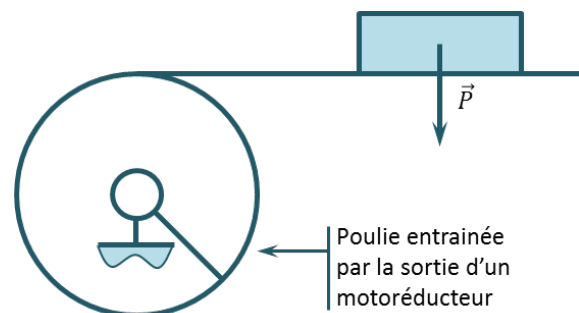
**Correction**

**Question 6** Tracer le profil de la position, de la vitesse et de l'accélération pour parcourir une distance de 50 cm. On cherchera à atteindre les performances maximales de l'axe.

**Correction**

Un motoréducteur permet d'entraîner un système poulie – courroie permettant de déplacer la charge. On considère :

- une charge de masse 1 kg ;
- une poulie de rayon 5 cm ;
- un réducteur de rapport de transmission 1 : 20.



**Question 7** Déterminer le couple à fournir par la poulie pour déplacer la charge lorsque l'accélération est au maximum.

Correction

**Question 8** Déterminer la vitesse et le couple à fournir par le moteur en considérant que l'inertie du motoréducteur est négligeable.

Correction

**Question 9** Donner la méthode permettant de prendre en compte l'inertie  $J$  du motoréducteur? Quel serait l'impact de la prise en compte de cette hypothèse?

Correction

## TD 1 – Corrigé



## Véhicule TIM

Florestan Mathurin

## Savoirs et compétences :

- ☐ Res1.C2 : principe fondamental de la dynamique ;
- ☐ Res1.C1.SF1 : proposer une démarche permettant la détermination de la loi de mouvement.

## Détermination expérimentale du coefficient de résistance au roulement

**Question 1** Écrire le principe fondamental de la statique appliqué au solide 1 réduit au point G en projection sur la base  $(\vec{x}, \vec{y}, \vec{z})$ .

## Correction

- On isole le solide 1.
- Le solide est soumis à l'action de pesanteur et à l'action du sol.
- On applique le PFS :
  - TRS :  $-T_{01} \vec{x} + N_{01} \vec{z} = -mg \vec{z}_0 = -mg (\cos \alpha \vec{z} - \sin \alpha \vec{x})$  ;
  - TMS en G en projection sur  $\vec{y}$  :  $-C_r + R T_{01} = 0$ .
- On résout :
  - $-T_{01} + mg \sin \alpha = 0$  ;
  - $N_{01} - mg \cos \alpha = 0$  ;
  - $C_r = R T_{01}$ .

**Question 2** Déterminer l'expression analytique de l'angle  $\alpha_{\text{lim}}$  à la limite de l'équilibre quand il y a début du roulement du solide 1 sur le plan 0.

## Correction

À la limite du roulement, on a  $C_r = r N_{01} \Leftrightarrow R T_{01} = r N_{01} \Leftrightarrow R mg \sin \alpha_{\text{lim}} = r mg \cos \alpha_{\text{lim}}$  et  $\tan \alpha_{\text{lim}} = \frac{r}{R}$ .

Pour une masse du solide 1  $m = 50 \text{ kg}$  et pour un rayon  $R = 0,25 \text{ m}$  le roulement se produit à partir d'un angle  $\alpha_{\text{lim}}$  tel que  $\tan \alpha_{\text{lim}} = 0,008$ .

**Question 3** Déterminer le coefficient de résistance au roulement  $r$ .

## Correction

$r = 0,002 \text{ m}$ .

**Question 4** Au début du roulement, montrer qu'il ne peut pas y avoir glissement en  $A_1$  si le coefficient de frottement au contact vaut  $f = 0,5$ .

## Correction

À la limite du glissement, on a  $T_{01} = f N_{01}$  et  $\frac{T_{01}}{N_{01}} = \tan \alpha$ . Pour  $\tan \alpha_{\text{lim}} < f$  il y a donc roulement sans glissement.

## Modélisation du véhicule

**Question 5** Écrire les équations scalaires découlant des conditions de Roulement Sans Glissement (RSG) aux point  $A_{23}$  et  $A_4$ .

**Correction** En  $A_{23}$ , on a :  $\overrightarrow{V(A_{23}, 23/0)} = \vec{0}$ . On a alors  $\overrightarrow{V(A_{23}, 23/0)} = \overrightarrow{V(A_{23}, 23/1)} + \overrightarrow{V(A_{23}, 1/0)}$  et  $\vec{0} = \overrightarrow{V(O_{23}, 23/1)} + \overrightarrow{A_{23}O_{23} \wedge \Omega(23/1)} + \overrightarrow{V(A_{23}, 1/0)} \Leftrightarrow \vec{0} = \vec{0} + R\vec{z} \wedge \dot{\theta}_{23}\vec{y} + \dot{x}\vec{x} \Rightarrow 0 = -R\dot{\theta}_{23} + \dot{x}$ .  
De même en  $A_4$ ,  $0 = -R\dot{\theta}_4 + \dot{x}$ .

**Question 6** En isolant l'ensemble  $E = 1 + 2 + 3 + 4$ , écrire le théorème de la résultante dynamique en projection sur  $\vec{x}$  et  $\vec{z}$ .

**Correction** • On isole  $E$ .

• BAME :

- Pesanteur :  $\{\mathcal{T}(\text{Pes} \rightarrow E)\} = \left\{ \frac{-(M+3m)g\vec{z}_0}{0} \right\}_{G_E} = \left\{ \frac{-(M+3m)g(\cos\alpha\vec{z} - \sin\alpha\vec{x})}{0} \right\}_{G_E}$ .

- Résistance au roulement :  $\{\mathcal{T}(T \rightarrow 0)\}_i = \left\{ \begin{matrix} -T_{0i}\vec{x} + N_{0i}\vec{z} \\ -C_r\vec{y} \end{matrix} \right\}_{A_i}$ .

- Traînée :  $\{\mathcal{T}(\text{Trainee} \rightarrow E)\} = \left\{ \frac{-\frac{1}{2}\rho S C_x \dot{x}^2 \vec{x}}{0} \right\}_{O_{23}}$ .

• La résultante dynamique est donnée par  $(M+3m)\overrightarrow{\Gamma(G, E/0)} = (M+3m)\ddot{x}\vec{x}$ .

• On applique le théorème de la résultante dynamique en projection sur  $\vec{x}$  et  $\vec{z}$  :

-  $(M+3m)g \sin\alpha - \frac{1}{2}\rho S C_x \dot{x}^2 - T_{04} - T_{023} = (M+3m)\ddot{x}$   
-  $-(M+3m)g \cos\alpha + N_{04} + N_{023} = 0$

**Question 7** Pour chacune des roues 23 et 4, écrire les 2 équations scalaires correspondant au théorème du moment dynamique respectivement en  $O_{23}$  et  $O_4$  en projection sur  $\vec{y}$ .

**Correction** • On isole 23.

• BAME :

- 23 est soumis à la pesanteur;

- action de la pivot sans frottement avec le solide 1;

- résistance au roulement :  $\{\mathcal{T}(T \rightarrow 0)\}_{23} = \left\{ \begin{matrix} -T_{023}\vec{x} + N_{023}\vec{z} \\ -N_{023}r\vec{y} \end{matrix} \right\}_{A_{23}} = \left\{ \begin{matrix} -T_{023}\vec{x} + N_{023}\vec{z} \\ (-rN_{023} + RT_{023})\vec{y} \end{matrix} \right\}_{O_{23}}$ .

• Le moment dynamique de  $O_{23}$  centre d'inertie des roues en projection sur  $\vec{y}_0$  s'écrit  $\overrightarrow{\delta(O_{23}, 23/0)}_{\vec{y}_0} = 2I\ddot{\theta}_{23}$ .

• TMD en  $O_{23}$  en projection sur  $\vec{y}_0$  s'écrit donc  $-rN_{023} + RT_{023} = 2I\ddot{\theta}_{23}$ .

De même pour la roue 4 en ajoutant la sollicitation du couple moteur :  $-rN_{04} + RT_{04} + C_m = I\ddot{\theta}_4$ .

**Question 8** Montrer à partir des équations scalaires obtenues précédemment que le couple moteur  $C_m$  vaut :

$$C_m = (M+3m)g \cos\alpha r + \left[ \frac{3I}{R} + R(M+3m) \right] \ddot{x} - R(M+3m)g \sin\alpha + \frac{1}{2}R\rho S C_x \dot{x}^2.$$

**Correction** On a :  $C_m = I\ddot{\theta}_4 + rN_{04} - RT_{04} = \frac{I}{R}\ddot{x} + rN_{04} - RT_{04} = \frac{I}{R}\ddot{x} - rN_{023} + r(M+3m)g \cos\alpha - RT_{04} = \frac{I}{R}\ddot{x} - RT_{023} + 2I\ddot{\theta}_{23} + r(M+3m)g \cos\alpha - RT_{04} = \frac{I}{R}\ddot{x} + \frac{2I}{R}\ddot{x} + r(M+3m)g \cos\alpha - R\left((M+3m)g \sin\alpha - \frac{1}{2}\rho S C_x \dot{x}^2 - (M+3m)\ddot{x}\right)$ .  
$$C_m = r(M+3m)g \cos\alpha + \left(\frac{3I}{R} + R(M+3m)\right)\ddot{x} + \left(-R(M+3m)g \sin\alpha + R\frac{1}{2}\rho S C_x \dot{x}^2\right).$$

CQFD.

**Question 9** Identifier dans l'expression de  $C_m$  les différentes actions qui ont tendance à affecter l'avancement du véhicule.

**Correction**

$$C_m = \underbrace{(M+3m)gr \cos \alpha}_{\text{Résistance au roulement}} - \underbrace{(M+3m)gR \sin \alpha}_{\text{Couple pour monter la pente}} + \underbrace{\left(\frac{3I}{R} + R(M+3m)\right)\ddot{x}}_{\text{Couple pour vaincre les effets d'inertie}} + \underbrace{R\frac{1}{2}\rho SC_x \dot{x}^2}_{\text{Couple pour vaincre la traînée}}$$

**Question 10** Déterminer l'expression du couple moteur  $C_m$  quand le véhicule a une vitesse constante  $V$  sur une piste horizontale.

**Correction** À vitesse constante sur du plat, on a :

$$C_m = \underbrace{(M+3m)gr}_{\text{Résistance au roulement}} + \underbrace{R\frac{1}{2}\rho SC_x \dot{x}^2}_{\text{Couple pour vaincre la traînée}}$$

**Question 11** Déterminer dans les conditions d'essais le produit  $\frac{1}{2}\rho SC_x$  caractérisant les effets aérodynamiques sur le véhicule. On précisera les unités.

**Correction** La vitesse constante atteinte sur les graphes est de  $17 \text{ m s}^{-1}$ . Par ailleurs  $\frac{1}{2}\rho SC_x = \frac{C_m - (M+3m)gr}{R\dot{x}^2} = \frac{3,245 - (70 + 3 \cdot 1) \cdot 10 \cdot 0,002}{0,25 \cdot 17^2} = 0,025 \text{ kg m}^{-1}$ .

**Question 12** Évaluer la pente maximum que peut monter ce véhicule à vitesse stabilisée de  $5 \text{ km h}^{-1}$  (on négligera le couple de résistance au roulement).

**Correction**